УЛК 661.847:547.717

# КОМПЛЕКС ЦИНКА(II) С 1,2-бис(2-ПИРИДИЛ-1,2,4-ТРИАЗОЛ-3-ИЛ)ЭТАНОМ И ДИАНИОНАМИ 1-ГИДРОКСИЭТАН-1,1-ДИФОСФОНОВОЙ КИСЛОТЫ

© 2021 г. В. Ф. Шульгин<sup>1, \*</sup>, М. А. Кискин<sup>2</sup>, А. Н. Гусев<sup>1</sup>, Ю. И. Балуда<sup>1</sup>, И. О. Рюш<sup>1</sup>

<sup>1</sup>Крымский федеральный университет им. В.И. Вернадского, Симферополь, Россия <sup>2</sup>Институт общей и неорганической химии им. Н.С. Курнакова РАН, Москва, Россия \*e-mail: shulvic@gmail.com

Поступила в редакцию 17.11.2020 г. После доработки 07.12.2020 г. Принята к публикации 10.12.2020 г.

Реакцией ZnSO $_4$  · 7H $_2$ O с 1,2-6uc(2-пиридил-1,2,4-триазол-3-ил)этаном (H $_2$ L) и 1-гидроксиэтан-1,1-дифосфоновой кислотой (H $_4$ EDP) в водной среде получен комплекс {[Zn}\_2(H $_2$ L)(H $_2$ EDP) $_2$ -(H $_2$ O) $_2$ ] · 2H $_2$ O} $_n$ , исследованный методами элементного анализа и ИК-спектроскопии. Структура комплекса установлена методом PCA (CIF file CCDC № 2043698). Комплекс имеет 1D-полимерное строение и представляет собой зигзагообразную цепь, в которой два катиона цинка(II) объединены двумя бифосфонатными анионами в центросимметричные биядерные фрагменты, связанные мостиковыми молекулами 6uc(триазолил)этана. Катион цинка(II) дополнительно координирует молекулу воды и находится в искаженно октаэдрическом координационном окружении. В спектре люминесценции комплекса наблюдается широкая полоса излучения с максимумом при 408 нм и квантовым выходом 4%.

*Ключевые слова:* 1-гидроксиэтан-1,1-дифосфоновая кислота, спейсерированный 1,2,4-триазол, цинк(II), рентгеноструктурный анализ

**DOI:** 10.31857/S0132344X21050078

2-Пиридилзамещенные азольные лиганды являются структурными аналогами хелатирующих 2,2'-дипиридила и 1,10-фенантролина и обладают высокой координирующей способностью. Поэтому лиганды данного типа вызывают повышенный интерес исследователей [1—3]. Связывание хелатирующих группировок углеводородным спейсером и использование дополнительных экстралигандов позволяет расширить их координирующие способности и синтезировать комплексы с оригинальной структурой и свойствами, которые в основном определяются длиной и природой спейсера [4—7]. Значительное влияние на строение синтезированных комплексов оказыва-

ют также условия синтеза и кристаллизации продуктов реакции.

В настоящей статье описан синтез и строение полимерного комплекса цинка(II), полученного на основе дианионов 1-гидроксиэтан-1,1-дифосфоновой кислоты ( $\mathbf{H_4EDP}$ ) и 1,2- $\mathit{buc}$ (2-пиридил-1,2,4-триазол-3-ил)этана ( $\mathbf{H_2L}$ ) — представителя удобного типа пролигандов, пригодных для самосборки координационных соединений различной ядерности и топологии [1, 4]. Комплексы цинка(II) с азотсодержащими лигандами и анионами  $\mathbf{H_4EDP}$  описаны в [8—10].

### ЭКСПЕРИМЕНТАЛЬНАЯ ЧАСТЬ

В работе использовали 1,2- $\mathit{fuc}(2$ -пиридил-1,2,4-триазол-3-ил)этан, полученный по методике, описанной в [4]. Для синтеза использовали ZnSO<sub>4</sub> · 7H<sub>2</sub>O ("х. ч.") и 1-гидроксиэтан-1,1-дифосфоновую кислоту (этидроновая кислота, моногидрат, препарат фирмы Aldrich).

Синтез комплекса  $\{[Zn_2(H_2L)(H_2EDP)_2(H_2O)_2] \cdot$ · 2H<sub>2</sub>O}<sub>n</sub> (I). К суспензии, содержащей 0.5 ммоль  $(0.160 \text{ r}) \text{ H}_2\text{L}$  в 10 мл воды, добавляли раствор 1 ммоль (0.225 г)  $H_4EDP$  в 5 мл воды и перемешивали при температуре 70-80°C в течение 10 мин до полного растворения реагентов. К полученному раствору добавляли раствор 1 ммоль (0.287 г)  $ZnSO_4 \cdot 7H_2O$  в 5 мл воды и охлаждали до комнатной температуры при перемешивании, после чего медленно добавляли 2 ммоль триэтиламина до рН 6-7. Полученный раствор выдерживали 3 сут при комнатной температуре. Образовавшиеся кристаллы отделяли от маточного раствора фильтрованием, промывали водой и сушили на воздухе. Выход бесцветного мелкокристаллического вещества 0.140 г (15% в расчете на  $H_2L$ ).

Найдено, %: С 28.66, H 5.13, N 11.62. Для  $C_{20}H_{36}N_8O_{19}P_4Zn_2$  вычислено, %: С 28.36, H 4.83, N 11.83.

ИК-спектр (v, см<sup>-1</sup>): 3218, 1620, 1610, 1569, 1481, 1455, 1402, 1349, 1288, 1238, 1127, 1031, 999, 906, 892, 754, 710, 645, 550, 449, 413.

Монокристаллы I, пригодные для PCA, выращивали перекристаллизацией мелкокристаллического продукта из воды в условиях гидротермального синтеза. Для этого 20 мг вещества помещали в герметичную тефлоновую пробирку, приливали 10 мл воды, добавляли 1—2 капли 60%-ного раствора этидроновой кислоты и нагревали до 80°С со скоростью 0.2°С/мин. Температуру выдерживали 2 ч и медленно с такой же скоростью охлаждали до комнатной температуры. Образовавшиеся кристаллы отделяли фильтрованием.

**РСА** монокристаллов I проведен при температуре 150 К на дифрактометре Bruker Smart APEXII, оборудованном ССD-детектором и источником монохроматического излучения ( $MoK_{\alpha}$ ,  $\lambda = 0.71073$  Å, графитовый монохроматор) с использованием стандартной процедуры [11]. Введена поправка на поглощение [12]. Структура расшифрована прямым методом и уточнена в полноматричном анизотропном приближении для всех неводородных атомов. Расчеты проведены с использованием программы SHELXL-2018/3 [13]. Атомы водорода генерированы геометрически и уточнены в модели "наездника". Атомы Н при атомах кислорода, O(3) и O(5) фосфорильных групп выявлены из разностного синтеза Фурье и зафиксированы при

помощи функций AFIX с учетом разупорядочения по двум позициям с равнозначными заселенностями по 0.5.

Кристаллографические параметры и детали уточнения структур для I:  $C_{20}H_{36}N_8O_{19}P_4Zn_2$ , M=947.19, размер кристалла  $0.1\times0.1\times0.08$  мм, бесцветные кристаллы, T=150(2) K, триклинная сингония, пр. гр.  $P\overline{1}$ , a=8.9186(5), b=10.2871(6), c=10.4426(6) Å,  $\alpha=110.053(2)^\circ$ ,  $\beta=107.600(2)^\circ$ ,  $\gamma=93.077(2)^\circ$ , V=844.51(8) ų, Z=1,  $\rho=1.862$  г/см³,  $\mu=1.704$  мм $^{-1}$ ,  $\theta=2.14^\circ-28.28^\circ$ ,  $-11\le h\le 10$ ,  $-13\le k\le 13$ ,  $-13\le l\le 13$ ; всего 8794 отражений, независимых отражений 4142, отражений с  $I\ge 2\sigma(I)$  3688,  $R_{\rm int}=0.0229$ ,  $T_{\rm min}/T_{\rm max}=0.6371/0.7461$ , S=0.820,  $R_1=0.0382$ ,  $wR_2=0.0888$  (для всех данных),  $R_1=0.0333$ ,  $wR_2=0.0849$  (для  $I\ge 2\sigma(I)$ ),  $\Delta\rho_{\rm min}/\Delta\rho_{\rm max}=-0.574/1.144$  e Å $^{-3}$ .

Координаты атомов и другие параметры структуры I депонированы в Кембриджском банке структурных данных (CCDC № 2043698); deposit@ccdc.cam.ac.uk или http://www.ccdc.cam.ac.uk/data\_request/cif).

Элементный анализ выполняли на автоматическом анализаторе EURO Vector 3000A. ИКспектры записывали на ИК-спектрометре с Фурье-преобразованием Spectrum Two, снабженном приставкой однократно нарушенного полного внутреннего отражения (Perkin Elmer). Спектры возбуждения и люминесценции поликристаллических образцов изучали на приборе FluoroMax-4 (Horiba).

# РЕЗУЛЬТАТЫ И ИХ ОБСУЖДЕНИЕ

Установлено, что в ходе реакции 1,2-*бис*(2-пиридил-1,2,4-триазол-3-ил)этана ( $H_2L$ ), 1-гидроксиэтан-1,1-дифосфоновой кислоты (Н<sub>4</sub>EDP) и  $ZnSO_4 \cdot 7H_2O$  (в соотношении 1 : 2 : 2) в воде при нейтрализацией триэтиламином происходит образование комплекса { $[Zn_2(H_2L)(H_2EDP)_2(H_2O)_2]$  ·  $\{ 2H_2O \}_n$  (I). Структура I установлена методом РСА. Показано, что комплекс кристаллизуется в виде зигзагообразного 1D-полимера и содержит биядерные фрагменты, образованные катионами цинка и дифосфонатными дианионами (рис. 1), которые выполняют хелатно-мостиковую функцию, координируя катионы цинка(II) фосфорильными атомами кислорода. Расстояния между катионами цинка(II) в димере равно 5.262 Å. Димерные фрагменты связаны в полимерную цепь спейсерированными молекулами Н<sub>2</sub>L. Наиболее короткое расстояние между катионами цинка(II) в соседних димерах равно 8.045 Å. Избранные длины связей, образованные с участием атомов цинка и фосфора, приведены в табл. 1.

Каждый бифосфонатный анион  $H_2EDP^{2-}$  образует с катионом цинка(II) шестичленный хелатный

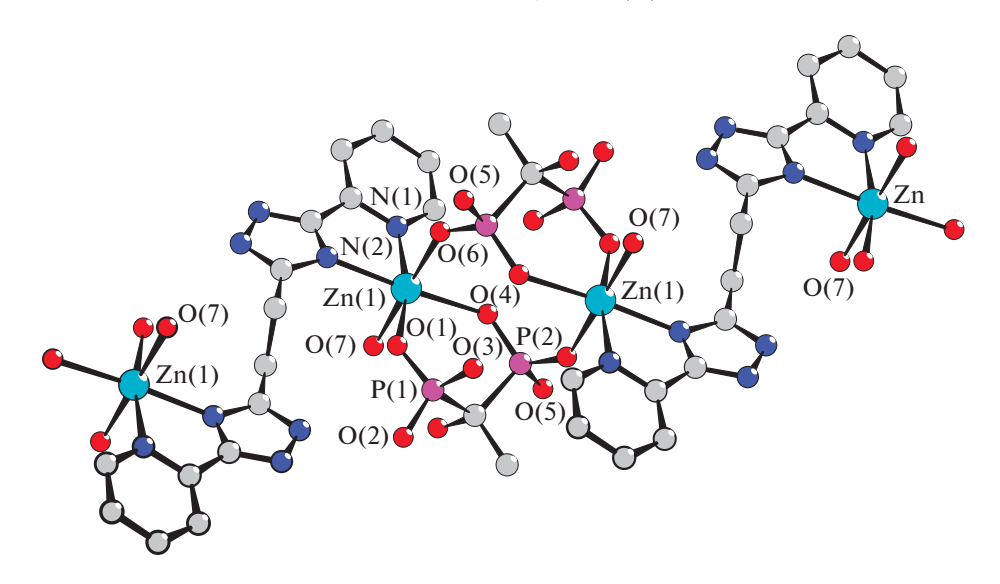


Рис. 1. Фрагмент кристаллической структуры комплекса І. Атомы водорода опущены для ясности.

цикл Zn(1)O(1)P(1)C(9)P(2)O(4) с геометрией, приближенной к конформации "ванна". Связи катиона цинка(II) с депротонированными атомами кислорода бисфосфонат-аниона O(1) и O(4) неэквивалентны (2.022(2) и 2.170(2) Å) и сопоставимы с длиной связи катионов цинка(II) с атомом кислорода координированной молекулы воды — Zn-O(7) 2.109(2) Å. Связывание атома кислорода O(6) аниона кислоты с соседним катионом цинка(II) обеспечивает объединение мономерных фрагментов в димер, длина мостиковой связи Zn-O(6) составляет 2.067(2) Å. Образующийся восьмичленный цикл Zn(1)O(6)P(2)O(4)Zn(1)O(6)P(2)O(4) изогнут и имеет геометрию, близкую к конформации "ванна".

Молекулы спейсерированного 2-пиридил-1,2,4-триазола связывают димерные фрагменты в полимерную цепь за счет координации атомов азота N(1) и N(2) пиридильного и триазольного фрагментов. Связи атомов Zn с атомами азота триазольного фрагмента — Zn(1)—N(2) равны 2.142(2) Å и короче по сравнению со связями с атомами азота пиридильного заместителя — Zn(1)—N(1) 2.265(2) Å. Длины связей и валентные углы в пределах органических лигандов имеют

значения, близкие к обычным [14]. Связывание полимерных слоев экстралигандами наблюдалось ранее при изучении бифосфонатных комплексов цинка(II) с 4,4'-бипиридилами и их спейсерированными аналогами [8, 9].

Гидратные молекулы воды занимают полости кристаллической решетки и участвуют в образовании системы водородных связей с вовлечением гетероциклических атомов азота, а также атомов кислорода фосфорильных групп (табл. 2). Такое H-связывание цепочек координационного полимера в кристалле приводит к образованию трехмерной супрамолекулярной структуры.

ИК-спектр поглощения комплекса I наряду с полосами спейсерированного 2-пиридил-1,2,4-триазола (1610—1288 см<sup>-1</sup>) содержит широкие интенсивные полосы с максимумами поглощения при 1237—550 см<sup>-1</sup>, обусловленные валентными колебаниями связей фосфор—кислород и фосфор—углерод [15]. В области около 3220 см<sup>-1</sup> проявляется широкая огибающая, включающая полосы валентных колебаний молекул воды, дефор-

**Таблица 1.** Наиболее важные длины связей с участием атомов цинка и фосфора в молекулярной структуре комплекса I

Связь	d, Å	Связь	d, Å
Zn(1)-O(1)	2.022(2)	P(1)-O(1)	1.502(2)
Zn(1)-O(4)	2.170(2)	P(1)-O(2)	1.511(2)
Zn(1)-O(6)	2.067(2)	P(1)-O(3)	1.571(2)
Zn(1)-O(7)	2.109(2)	P(2)-O(4)	1.516(2)
Zn(1)-N(1)	2.265(2)	P(2)-O(5)	1.580(2)
Zn(1)-N(2)	2.142(2)	P(2)-O(6)	1.503(2)

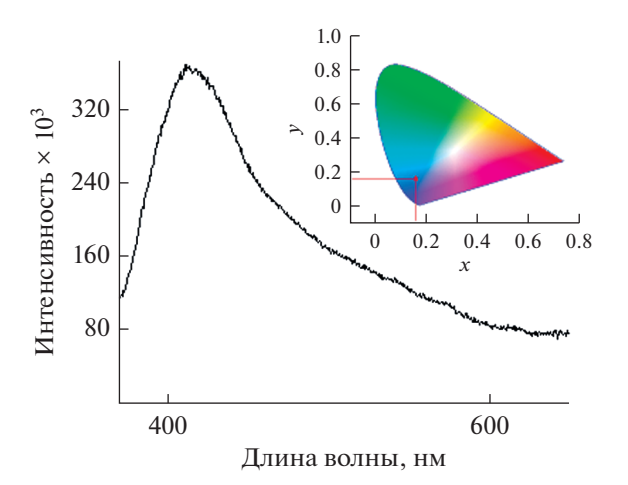
Контакт D–Н…А	Расстояние, Å			Угол DHA,	Симметрия атома А
	D–H	H···A	D···A	град	Симмстрия атома А
N(4)- $H(4B)$ ···O(2)	0.88	1.82	2.683(3)	168	-x+1,-y,-z
$O(3)-H(3B)\cdots O(4)$	0.84	1.79	2.629(2)	174	-x+1, -y+1, -z+1
$O(5)-H(5A)\cdots O(2w)$	0.84	1.95	2.774(3)	168	x, y, z
$O(5)-H(5A)\cdots O(1wA)$	0.83	1.88	2.701(8)	168	x, y, z
$O(7)-H(7A)\cdots O(8)$	0.89	1.87	2.711(3)	155	x, y, z
$O(7)-H(7B)\cdots N(3)$	0.89	2.13	2.844(3)	137	-x, -y, -z
$O(8)-H(8C)\cdots O(2)$	0.84	1.91	2.687(2)	152	-x+1, -y+1, -z
O(2w)- $H(2wB)$ ··· $O(2)$	0.87	2.08	2.878(4)	153	-x+1, -y, -z

**Таблица 2.** Геометрические параметры водородных связей в кристаллической структуре I

мационные колебания которых наблюдаются в виде слабой полосы с максимумом около 1620 см<sup>-1</sup>.

Ранее в литературе была описана люминесценция комплексов бифосфонатов цинка(II) с пиридилсодержащими лигандами, обусловленная  $\pi$ – $\pi$ \*-переходами внутри азотсодержащего гетероцикла ( $\lambda_{\rm 3M}=420$ –450 нм,  $\lambda_{\rm BO36}=330$ –365 нм) [8, 9]. Спектр люминесценции комплекса I содержит аналогичную широкую полосу эмиссии с максимумом при 408 нм ( $\lambda_{\rm BO36}=350$  нм) и квантовым выходом 4%. Координаты на диаграмме цветности x=0.6, y=0.16 (рис. 2). Полоса люминесценции свободных молекул  $H_4$ EDP наблюдается в области около 360 нм ( $\lambda_{\rm BO36}=320$  нм) [10], что позволяет исключить электронные переходы внутри дифосфонатного лиганда в качестве источника люминесценции комплекса I.

Таким образом, установлено, что использование дианиона 1-гидроксиэтан-1,1-дифосфоновой кислоты, способствующего формированию полиядерных структур, в присутствии дитопного 1,2-бис(2-пиридил-1,2,4-триазол-3-ил)этана в ре-



**Рис. 2.** Спектр люминесценции комплекса I и диаграмма цветности (вставка).

акции с ионами цинка(II) приводит к образованию биядерных фрагментов, связанных между собой в полимерную цепь спейсерированным триазолом. Примечательно, что в рассматриваемом комплексе спейсерированный триазольный лиганд проявляет мостиковую функцию. В то время как в ранее описанных комплексах  $H_2L$  демонстрировал только терминальный способ координации [4]. Очевидно, что дополнительное комплексообразование с этидроновой кислотой расширяет координирующие возможности спейсерированных триазолов, что может оказаться перспективным для целенаправленного получения полиядерных кластеров.

Авторы заявляют об отсутствии конфликта интересов.

# БЛАГОДАРНОСТИ

РСА выполнен на оборудовании ЦКП ИОНХ РАН в рамках государственного задания ИОНХ РАН в области фундаментальных научных исследований.

#### ФИНАНСИРОВАНИЕ

Работа выполнена при финансовой поддержке Российского научного фонда (проект № 18-13-00024).

# СПИСОК ЛИТЕРАТУРЫ

- Гусев А.Н., Шульгин В.Ф., Кискин М.А. // Журн. структур. химии. 2019. Т. 60. № 3. С. 353.
- Chi Y., Tong B., Chou P.-T. // Coord. Chem. Rev. 2014. 281. P. 1.
- 3. Ward M.D. // Chem. Commun. 2009. P. 4487.
- 4. *Gusev A.N.*, *Shul'gin V.F.*, *Ryush I.O. et al.* // Eur. J. Inorg. Chem. 2017. P. 704.
- Gusev A.N., Shul'gin V.F., Riush I.O. et al. // Inorg. Chim. Acta. 2017. V. 456. P. 136.
- Gusev A., Nemec I., Herchel R. et al. // Dalton Trans. 2019. V. 48. P. 3052.

- 7. *Gusev A., Nemec I., Herchel R. et al.* // Dalton Trans. 2019. V. 48. P. 10526.
- 8. Liu Hao-Hao, Ma Yu-Juan, Han Song-De et al. // Dalton Trans. 2019. V. 48. P. 3955.
- 9. *Ma Yu-Juan, Han Song-De, Mu Ying et al.* // Dalton Trans. 2018. V. 47. P. 1650.
- 10. *Pan Jie, Ma Yu-Juan, Han Song-De* // Cryst. Growth Des. 2019. V. 19. P. 2919.
- 11. SMART (control) and SAINT (integration) Sofware. Version 5.0. Madison (WI, USA), Bruker AXS Inc., 1997.
- 12. Krause L., Herbst-Irmer R., Sheldrick G.M., Stalke D. // J. Appl. Cryst. 2015. V. 48. P. 3.
- 13. Sheldrick G.M. // Acta Crystallogr. C. 2015. V. 71. P. 3.
- 14. *Allen F.H.*, *Kennard O.*, *Watson D.G. et al.* // Perkin Trans. 2. 1987. V. 12. P. 1.
- 15. Pan Ling-ling, Yuan Yi-Xuan, Xiao Y. et al. // J. Mol. Struct. 2008. V. 892. P. 272.